doi: 10.7499/j.issn.1008-8830.2014.01.016

论著·实验研究

整合素 β。在星形胶质细胞氧糖剥夺后 对 TGF-β1 的活化影响

李晋辉 李德渊 陈大鹏 母得志 屈艺

(四川大学华西第二医院儿科/华西儿童医学中心, 出生缺陷相关妇儿疾病教育部重点实验室,四川成都 610041)

[摘要] 目的 探讨在氧糖剥夺(OGD)后,星形胶质细胞中整合素 β_8 (β_8)的表达对转化生长因子 $-\beta1$ (TGF- $\beta1$)活化的影响。方法 体外培养星形胶质细胞,OGD 模拟缺氧缺血。免疫细胞化学法检测 β_8 蛋白在星形胶质细胞中的表达及分布,Western blot 定量检测 OGD 处理后复氧 12 h、1 d 及 2 d 时 β_8 蛋白表达的变化。建立星形胶质细胞与荧光素酶报道细胞(TMLC)共培养体系,利用 RNA 干扰技术抑制星形胶质细胞 β_8 表达,观察 β_8 对 TGF- $\beta1$ 活化的影响。结果 β_8 主要分布于星形胶质细胞的胞浆和树突;星形胶质细胞中 β_8 蛋白表达在复氧后 12 h 即有增加,1 d 时达高峰;星形胶质细胞与 TMLC 共培养体系在复氧后各时间点 TGF- $\beta1$ 活性增高趋势与星形胶质细胞 β_8 表达趋势相似,抑制 β_8 表达后,TGF- $\beta1$ 活性在各时间点均显著降低。结论 新生鼠在缺血缺氧时,星形胶质细胞高表达的 β_8 对中枢神经系统中 TGF- $\beta1$ 的活化起重要调控作用。

[中国当代儿科杂志, 2014, 16(1): 73-76]

[关键词] 缺氧缺血;星形胶质细胞;整合素;转化生长因子;新生大鼠

Effect of integrin β_8 on TGF- $\beta 1$ activation in astrocytes with oxygen glucose deprivation

LI Jin-Hui, LI De-Yuan, CHEN Da-Peng, MU De-Zhi, QU Yi. Department of Pediatrics, West China Second Hospital, Sichuan University; West China Children's Medical Center; Key Laboratory of Obstetric & Gynecologic and Pediatric Diseases and Birth Defects of Ministry of Education, Chengdu 610041, China (Qu Y, Email: quyi712002@yahoo.com.cn)

Abstract: Objective To study the effect of $β_8$ expression on transforming growth factor β1(TGF-β1) activation in astrocytes with oxygen glucose deprivation (OGD). **Methods** Astrocytes were cultured and then subjected to OGD to generate hypoxia-ischemia (HI) model *in vitro*. Immunocytochemistry was used to detect the expression and distribution of $β_8$ in nomoxia cultured cells. $β_8$ protein expression was quantified by Western blot at 12 hours, 1 day and 2 days after OGD. Astrocytes and luciferase reporter cells (TMLC) were co-cultured. $β_8$ RNA interference system was established to specifically inhibit $β_8$ expression in cultured astrocytes. TGF-β1 activation was then detected in the co-culture system. **Results** $β_8$ was mainly located in the cytoplasm and neurites of astrocytes. OGD resulted in increase of $β_8$ protein expression at 12 hours after reoxygenation in astrocytes, which was peaked at 1 day after reoxygenation. TGF-β1 activation was in accordance with $β_8$ expression in astrocyte-TMLC co-culture system after reoxygenation. After the inhibition of $β_8$, TGF-β1 activation was significantly reduced in all time points. **Conclusions** The highly expressed $β_8$ plays important roles in the regulation of TGF-β1 activation in neonatal rats with hypoxic-ischemic brain damage.

[Chin J Contemp Pediatr, 2014, 16(1): 73-76]

Key words: Hypoxia-ischemia; Astrocyte; Integrin; Transforming growth factor; Neonatal rats

缺氧缺血(HI)是新生儿时期引起神经系统 损伤的重要原因,对缺氧缺血性脑损伤(HIBD) 发病机制及防治的研究具有重要意义。星形胶质 细胞是中枢神经系统(CNS)中数量最多的神经细

[收稿日期] 2013-06-17; [接受日期] 2013-07-15

[基金项目] 国家重大科学研究计划项目(2013CB967404); 国家自然科学基金(31171020、81172174、81270724、81100457); 四川省科技厅科技支撑项目(2010SZ0280、2013SZ0031); 国家临床重点专科(儿科新生儿专业)建设项目。

[作者简介]李晋辉,女,博士,讲师。

[通信作者]屈艺,女,博士,研究员。

胞之一。近年来,越来越多的研究表明,星形胶质细胞除了参与早期的血管发育,还参与了 CNS 损伤后修复的调控,有十分重要的调控作用 [1-2]。然而,星形胶质细胞是一种附着生长细胞,必须在整合素的介导下,与周围基质及细胞相互粘着才能存活和生长。整合素 α,β₈ 是星形胶质细胞表达的主要整合素之一,因此可能对其功能起重要调控作用。转化生长因子 -β1 (TGF-β1) 具有调节细胞生长、分化、调控炎症反应等作用 [3],以无活性的潜伏态形式分泌,在 CNS 中尤其是 HI 时,对其活化途径仍不完全清楚。β₈ 是位于细胞表面的主要 TGF-β 受体,研究表明,上皮细胞表达的β₈ 可激活 TGF-β1 [4]。然而,在 CNS 中,β₈ 是否也是激活 TGF-β1 的关键因素,目前尚不十分清楚。

在体外培养环境中,氧糖剥夺(OGD)模拟 HI 后星形胶质细胞 β₈ 表达是否诱导性增高? 表达增高的 β₈ 能否诱导 TGF-β1 活化水平增高,从而影响—系列下游调节蛋白高表达? 本课题组认为这一连锁反应是新生儿 HIBD细胞修复的重要机制之一。这一假设亟待进一步证实,也是本研究的核心内容。

1 材料与方法

1.1 实验动物与材料

清洁级新生 3 d(P3)Sprague-Dawley(SD)大鼠,雌雄不限,平均体重 12 g,由四川大学华西医学中心实验动物中心提供。兔抗大鼠 $β_8$ 及 β-actin 多克隆抗体、山羊抗兔 IgG 多克隆抗体购自 Santa Cruz 公司,ABC 免疫 化学 试剂 盒购自 VECTOR Laboratories,DAB 显色试剂盒购自 KPL 公司,荧光素酶分析试剂盒购自 Promega 公司,抗 TGF-β1 抗体 1d11 购自 R&D 公司。Western blot 用兔抗大鼠 $β_8$ 多克隆抗体参照文献 [5] 以 KLH 偶联合成多肽(N'-EIKMDISKLNA-C')免疫动物获得。 $β_8$ siRNA 及对照 siRNA 已由既往实验获得 [6],直接用于本实验。

1.2 原代星形胶质细胞培养

参照文献进行原代培养[□]。将新生大鼠脑膜及血管组织分离后,取脑皮质并将其剪碎,加入含0.25% 胰蛋白酶的 PBS 液中,37℃消化 5~10 min后,加入 10% 胎牛血清 (FBS) 终止消化。通过 75 μm 不锈钢筛网过滤,收集细胞悬液,加入 DMEM 培养基柔和吹打数次后以 1200 rpm/min,离心 5 min,去上清液后加入培养液(高糖 DMEM 培

养基+10%FBS),于二氧化碳培氧箱中(37℃,5%CO₂)饱和湿度培养。接种3d后更换培养液,以后每两天半量换液1次。培养约15d即为成熟星形胶质细胞。

1.3 体外模拟缺氧缺血

OGD 体外模拟 HI。将成熟星形胶质细胞培养基更换为无糖 DMEM 培养基,将细胞置于通混合气(5%CO₂+95%N₂)的缺氧装置中,体外模拟 HI。6 h 后更换为原培养液,并以正常条件继续培养,模拟复氧。以未接受 OGD 处理的细胞作为对照,分别采集对照组及复氧后 12 h、1 d、2 d 细胞标本进行后续实验。

1.4 星形胶质细胞与荧光素酶报道细胞共培养

待荧光素酶报道细胞(TMLC)在96孔板中贴壁后,将培养中的星形胶质细胞以相同密度接种于生长有TMLC的96孔板中。以高糖培养液,于37℃、5%CO₂孵箱中培养。共培养2d后,光镜下观察星形胶质细胞覆盖于TMLC之上生长,满足后续实验要求。

1.5 检测指标和方法

1.5.1 免疫细胞化学检测 β_8 表达及分布 收集 正常生长的星形胶质细胞爬片,0.01M PBS 清洗后,4% 多聚甲醛固定。3% H_2O_2 封闭内源性过氧化物酶 10 min,10% 山羊血清 37 \mathbb{C} 孵育 20 min,滴加兔抗大鼠 β_8 抗体(1:500)4 \mathbb{C} 孵育过夜。滴加山羊抗兔 \mathbb{I} \mathbb{I} \mathbb{G} \mathbb{G} 37 \mathbb{C} 孵育 30 min,加入 ABC 37 \mathbb{C} 孵育 30 min,DAB 显色试剂盒显色,显微镜下观察。

1.5.2 Western blot 检测缺氧缺血后 β。蛋白表达

取对照组及复氧后 12 h、1 d及 2 d 的细胞, 0.25% 胰酶消化及离心后收集细胞沉淀,蛋白裂解液抽提细胞蛋白。取上清,BCA 法测蛋白浓度,各孔加入 $100 \mu g$ 蛋白样品电泳,转膜,5% 小牛血清封闭液封闭 1 h,加入兔抗大鼠 $β_8$ 多克隆抗体 (1:100)。 TBST 洗膜 3 次,二抗室温孵育 1 h,TBST 洗膜 3 次,ECL 显色,用 Gel-pro 凝胶成像分析软件测定条带的积分光密度值(IOD),并计算目的蛋白和内参β-actin 的 IOD 比值,即为相对光密度。

1.5.3 TGF-β1 活性的检测 在星形胶质细胞和 TMLC 共培养体系中,TMLC 已被转染且能稳定表达与 TGF-β1 起反应的启动子(PAI-1),当 PAI-1被 TGF-β1 激活后,可启动其下游的虫媒荧光素酶 表达 ^[8],TGF-β1 活性由荧光素酶强度反映。将共培养体系中的星形胶质细胞与 TMLC 共同行 OGD

处理 6 h 后复氧,设未接受 OGD 处理组(对照组)和复氧后 12 h、1 d、2 d 组共 4 组,每组根据不同的处理方式再分为 3 个亚组: (1) $\beta_8^{+/+}/TMLC$ 共培养组($\beta_8^{+/+}$ 组);(2) $\beta_8^{-/-}/TMLC$ 共培养组($\beta_8^{-/-}$ 组);(3)1d11(10 μ g/mL)处理的 $\beta_8^{+/+}/TMLC$ 组(anti-TGF- $\beta_8^{-/-}$ 表示经 RNA 干扰的星形胶质细胞, $\beta_8^{+/+}$ 表示正常培养的星形胶质细胞。参照试剂盒说明书检测,酶标仪读取荧光素酶数值。

1.6 统计学分析

采用 SPSS 10.0 统计软件包对数据进行统计学分析。计量资料以均数 \pm 标准差表示($\bar{x}\pm s$),多组间比较采用单因素方差分析,组间两两比较采用 LSD-t 检验,P<0.05 为差异有统计学意义。

2 结果

2.1 β₈ 蛋白在星形胶质细胞中的表达及分布

细胞免疫化学染色发现,常氧状态下,星形胶质细胞即有大量β₈蛋白表达,β₈主要分布于星形胶质细胞的胞浆和树突。见图1。

2.2 氧糖剥夺后星形胶质细胞 β。蛋白表达的变化

将未接受 OGD 处理的对照组 β_8 蛋白表达判读结果定为 1,复氧后各时间点结果以相对于对照组的倍数来表示。Western blot 结果显示,星形胶质细胞中 β_8 蛋白表达在复氧后 12 h 即有增加,为对照组的 1.3 倍 (P<0.01); 1 d 时表达达高峰,为对照组的 2.3 倍 (P<0.01); 后表达缓慢下降,至复氧后 2 d 时仍维持在较高水平,为对照组的 1.9 倍 (P<0.01)。见图 2。

2.3 β₈ 对 TGF-β1 活化的调控

将未接受 OGD 处理的对照组 β_8 蛋白表达判读结果定为 1,复氧后各时间点结果以相对于对照组的倍数来表示。荧光素酶检测结果显示,复氧后 12 h、1 d 和 2 d 的荧光素酶强度分别为对照组的 1.5 倍、1.9 倍和 1.3 倍(均 P < 0.01),其活性增高趋势与复氧后各时间点星形胶质细胞 β_8 蛋白表达趋势相似。阻断 $TGF - \beta 1$ 后,对照组及各时间点荧光素酶的强度分别下降 87%、84%、76%和75%(均 P < 0.01)。阻断 β_8 后,对照组及各时间点荧光素酶的强度分别下降 63%、57%、65%和60%(均 P < 0.01)。以上结果提示星形胶质细胞表达的 β_8 与 $TGF - \beta 1$ 的活化有关。见图 3。

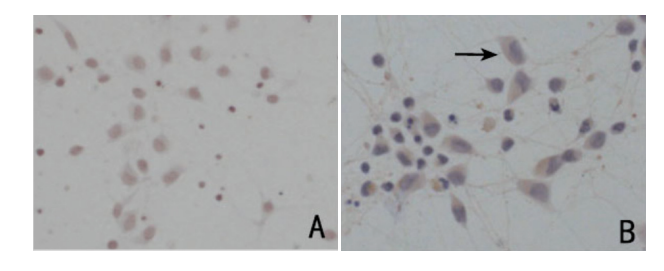


图 1 免疫细胞化学检测 β_8 在星形胶质细胞中的分布及表达(DAB 显色、×400) 图 A 为常氧状态下星形胶质细胞,以PBS代替—抗作为阴性对照;图 B 为常氧状态下星形胶质细胞 β_8 表达,箭头所示胞浆及树突显示棕黄色颗粒为 β_8 阳性表达。

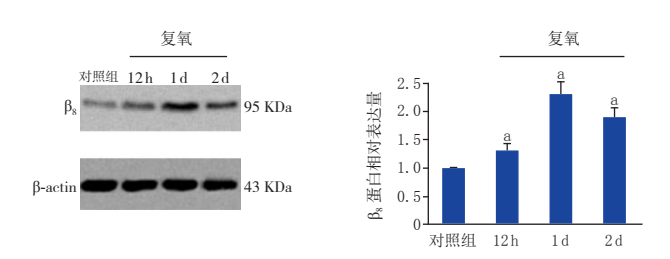


图 2 OGD 对星形胶质细胞 β_8 蛋白表达的影响 (n=5) 左图为条带图;右图为统计结果图, a:与对照组比较, P<0.01。

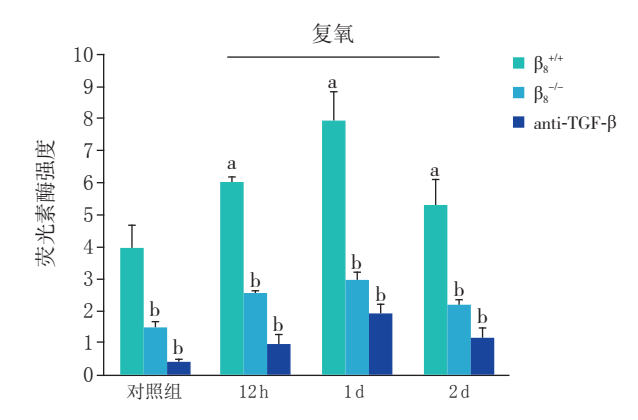


图 3 星形胶质细胞 /TMLC 共培养体系中荧光素酶强度 (n=5) a: 与对照组 β $_{8}$ *** 比较, P<0.01; b: 与同组 β $_{8}$ *** 比较, P<0.01。

3 讨论

整合素 $\alpha_{\nu}\beta_{8}$ 是主要的细胞表面受体之一,并且在 CNS 中仅与 α_{ν} 亚基结合形成异二聚体 ^[9],因此本实验中检测 β_{8} 亚基表达即代表整合素 $\alpha_{\nu}\beta_{8}$ 水平。体内实验发现, β_{8} 在海马区的免疫活性最强,主要分布于海马 CA3 区的透明层、起始层和辐射层,CA1 区的起始层和辐射层,齿状回的分子层和颗粒细胞层 ^[5]。 β_{8} 的这种特异性组织分布,提示其可能在 CNS 中有着特殊的调控作用。现有对 β_{8} 的研究大都是针对其在胚胎期对血管发育的作用 ^[10],然而对其在 CNS 损伤后,尤其是 HIBD 后

是否参与损伤后修复过程,目前研究甚少。

 $β_8$ 在体外原代培养的鼠胶质细胞和人胶质瘤 细胞中亦被证实是高表达的整合素亚基之一 [10]。 但是,在 CNS HI 后, $β_8$ 的表达是否会被诱导性表达增高,从而参与损伤后的一系列信号通路?本研究发现, $β_8$ 主要分布于星形胶质细胞的胞浆和树突。OGD后, $β_8$ 表达在星形胶质细胞中明显增高,复氧后约 1 d 其表达达到高峰,其后缓慢降低,至复氧后 2 d 仍维持在较高水平。

本课题组既往研究已利用慢病毒载体成功构建了 β_8 RNA 干扰系统 ^[6]。利用该系统特异性干扰星形胶质细胞经 β_8 表达,干扰后 2 d 达到最大抑制率,其 β_8 蛋白的抑制率可高达 84%,该抑制作用至少可持续 3 d,因此本研究选择实验周期为 3 d以内,从而保证 RNA 干扰对 β_8 表达的抑制作用。

正常情况下, TGF-β1 在体内与潜伏相关蛋白 LAP-β1 结合,形成潜伏态 TGF-β1,必须通过激活 才能发挥其生物学效应。研究表明, TGF-β1 活化 通过蛋白水解途径和非蛋白水解途径两条通路进 行[11]。星形胶质细胞表达的 α,β,是潜伏态 TGF-β1 的主要细胞表面受体, 在体外培养的星形胶质细 胞和新鲜分离的胎脑细胞中, β₈ 依赖的 TGF-β1 活 化亦被证实是 CNS 中主要的 TGF-β1 活化通路 [12]。 本实验结果表明,在 OGD 和复氧过程中,将星形 胶质细胞与 TMLC 细胞株共同培养,可明显增高 TMLC 的荧光素酶强度,而荧光素酶强度即代表 TGF-β1 激活水平。直接抑制星形胶质细胞中 β, 作 用,TGF-B1活性较未阻断前明显下降,提示CNS 中 TGF-β1 的激活与整合素 β。直接相关。此外, OGD 后, TGF-β1 活性的增高趋势与星形胶质细胞 β。表达增高的趋势一致, 而抑制 β。后在一定程度 上可抑制 TGF-β1 活性的增强。以上结果提示, β₈ 是 CNS 缺氧缺血后,诱导 TGF-β1 持续活化的关键 因素之一。

本研究中,抑制 β_8 后, TGF- β 1 活化的抑制率 不超过 65%,而直接阻断 TGF- β 1,其活化抑制率 则可高达 87%。造成这种差异的原因可能是由于 除 β_8 外,还有其他因素参与了 TGF- β 1 的活化。 研究发现,体外培养的人星形胶质细胞除了表达 $\alpha_{\nu}\beta_{\nu}$ 外,还大量表达 $\alpha_{\nu}\beta_{\nu}$ 整合素 [13]。 $\alpha_{\nu}\beta_{\nu}$ 已被证明 可在肿瘤细胞中激活 TGF- β 1 [14],虽目前尚无证据 表明其在 CNS 中的类似作用,但仍不可完全除外

 $α_{\nu}$ β₅ 等因素参与 HI 后 CNS 中 TGF-β1 的活化。

综上,本研究发现发育期大鼠 HIBD 时,星形胶质细胞高表达的整合素 β_8 在 CNS 中对 TGF- β 1 的活化起关键调控作用。 $\alpha_s\beta_s$ / TGF- β 1 通路可能与 CNS 损伤后自身启动的一系列保护性调控直接相关。

[参考文献]

- Chaboub LS, Deneen B. Developmental origins of astrocyte heterogeneity: the final frontier of CNS development[J]. Dev Neurosci, 2012, 34(5): 379-388.
- [2] Ben Achour S, Pascual O. Astrocyte-neuron communication: functional consequences[J]. Neurochem Res, 2012, 37(11): 2464-2473.
- [3] Katsuno M, Adachi H, Banno H, et al. Transforming growth factor-β signaling in motor neuron diseases[J]. Curr Mol Med, 2011, 11(1): 48-56.
- [4] Mu DZ, Cambier S, Fjellbirkeland L, et al. The integrin alpha(v) beta8 mediates epithelial homeostasis through MT1-MMP-dependent activation of TGF-beta1[J]. J Cell Biol, 2002, 157(3):493-507.
- [5] Nishimura SL, Boylen KP, Einheber S, et al. Synaptic and glial localization of the integrin alphavbeta8 in mouse and rat brain[J]. Brain Res, 1998, 791(1-2): 271-282.
- [6] Li JH, Qu Y, Li XH, et al. The role of integrin alpha(v)beta(8) in neonatal hypoxic-ischemic brain injury[J]. Neurotox Res, 2010, 17(4): 406-417.
- [7] Moreno C, Sampieri A, Vivas O, et al. STIM1 and Orai1 mediate thrombin-induced Ca(2+) influx in rat cortical astrocytes[J]. Cell Calcium, 2012, 52(6): 457-467.
- [8] Abe M, Harpel JG, Metz CN, et al. An assay for transforming growth factor-beta using cells transfected with a plasminogen activator inhibitor-1 promotor-luciferase construct[J]. Anal Biochem, 1994, 216(2): 276-284.
- [9] Mobley AK, McCarty JH. β8 integrin is essential for neuroblast migration in the rostral migratory stream[J]. Glial, 2011, 59(11): 1570-1187
- [10] Tchaicha JH, Reyes SB, Shin J, et al. Glioblastoma angiogenesis and tumor cell invasiveness are differentially regulated by β8 integrin[J]. Cancer Res, 2011, 71(20): 6371-6381.
- [11] Kou W, Hu GH, Yao HB, et al. Regulation of transforming growth factor-β1 activation and expression in the tissue remodeling involved in chronic rhinosinusitis[J]. ORL J Otorhinolaryngol Relat, 2012, 74(3):172-178.
- [12] Cambier S, Gline S, Mu DZ, et al. Integrin alpha(v)beta8-mediated activation of transforming growth factor-beta by perivascular astrocyte[J]. Amer J Pathol, 2005, 166(6): 1883-1894.
- [13] Milner R, Relvas JB, Fawcett J, et al. Development regulation of alphav integrins produces functional changes in astrocyte behavior[J]. Mol Cell Neurosci, 2001, 18: 108-118.
- [14] Desgrosellier JS, Cheresh DA. Integrins in cancer: biological implications and therapeutic opportunities[J]. Nat Rev Cancer, 2010, 10(1): 9-22.

(本文编辑:万静)